

(株)神戸製鋼所 正員 吉田 弘  
 " " 駿河 敏一  
 " " O堤 剛

## 1. まえがき

最近の土木分野における省力化・プレハブ化の傾向は、熟練技能者の不足・工事公害等の諸問題が深刻化するにつれて、特に橋梁床版にその傾向が著しいようである。その橋梁床版も、径間の増大について鋼床版が死荷重の軽減による経済性のために採用されつつあるが、従来の鋼床版では縦横リブによりデッキプレートを補剛する構造となっていて、その製作・架設を複雑にしている。そこで、筆者等は、横リブを排するかわりに縦リブ下縁にも鋼板を溶接接合することにより、製作を簡易化するとともに、横方向の分配性能も向上させて中空断面構造のサンドイッチ鋼床版(KOSWECK)を考案した。そして、その構造特性・力学挙動を調べるために、梁および板供試体を用いて載荷試験を実施し、一応の成果を納め次第でここに報告する。

## 2. 供試体および試験方法

試験供試体は、表-1に示すように、直交異方性板理論を適用する場合に必要な曲げ剛性 $D_x$ ・ $D_y$ 、有効捩れ剛性 $H$ 等の諸定数を決定するための梁および板供試体(試験Ⅰ)と、直交異方性板としての力学挙動を調べるために板供試体(試験Ⅱ)の2種類に大別した。使用鋼材は全てSS41で、上面板と心材の溶接は手溶接、心材と下面板の溶接はCO<sub>2</sub>半自動溶接により製作した。

試験方法は、試験Ⅰの梁供試体については両端単純支持して二点綫荷重載荷(写真-1)し、板供試体については三点支持して他の一点に集中荷重載荷し、また試験Ⅱの板供試体では、スパン( $l=8m$ )中央において、後輪荷重を中央および偏心載荷(写真-2)して、板挙動を調べることとしたが、いずれも載荷は弾性範囲内にとどめた。

## 3. 試験Ⅰの結果

表-2に、各供試体毎の $x$ (心材軸)方向、 $y$ (心材直角)方向の曲げ剛性 $D_x$ 、 $D_y$ の計算値と実測値を示す。計算値は、上下面板をフランジ、心材をウエブと仮想して、慣用の計算法で求めた断面二次モーメントより得たものであり、実測値は試験機みから得たものである。表-3は、上下面板に貼付した $x$ 、 $y$ 方向の歪ゲージの実測歪値から求めたポアソン比 $\nu_x$ 、 $\nu_y$

表-1 試験分類および供試体諸元

試験目的	型式	供試体名前	供試体寸法諸元(mm)							数量
			長さ	幅	高さ	a	b	t <sub>u</sub>	t <sub>c</sub>	
I	D <sub>x</sub> 梁	DX120-60	1650	270	120	135	0	6.0	6.0	6.0
	D <sub>x</sub>	DX150-45	1650	600	150	150	150	4.5	4.5	4.5
	D <sub>y</sub>	DX150-60	1650	600	150	150	150	6.0	4.5	4.5
	D <sub>y</sub>	DY120-60	1650	200	120	135	0	6.0	6.0	6.0
	H 板	DY150-45	2100	200	150	150	150	4.5	4.5	4.5
	H	DY150-60	2100	200	150	150	150	6.0	4.5	4.5
II	板	H120-60	1650	1650	120	135	0	6.0	6.0	6.0
	板	H150-45	1650	1650	150	150	150	4.5	4.5	4.5
III	檻	H150-60	1650	1650	150	150	150	6.0	4.5	4.5
	檻	PL350-60	9000	3060	350	340	340	6.0	4.5	6.0

(注) 表中の記号 $a$ 、 $b$ 、 $t_u$ 、 $t_c$ 、 $t_L$ の意味は、右図に示す通りである。

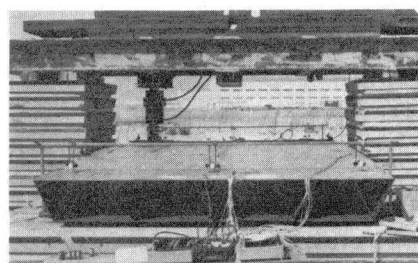
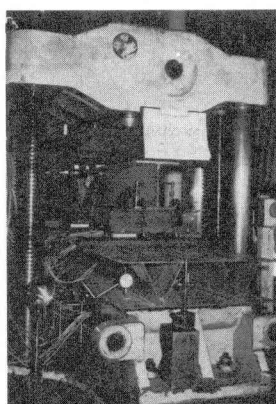
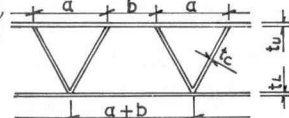


表-2 曲げ剛性 $D_x$ 、 $D_y$ 値

種類	供試体名前	計算値 (kg·cm <sup>2</sup> /cm)	実測値 (kg·cm <sup>2</sup> /cm)	実測値 計算値
D <sub>x</sub>	DX120-60	104,984,000	99,657,000	0.95
	DX150-45	116,728,000	124,831,000	1.07
	DX150-60	129,980,000	132,881,000	1.02
D <sub>y</sub>	DY120-60	81,875,000	87,974,000	1.07
	DY150-45	100,029,000	25,877,000	0.26
D <sub>y</sub>	DY150-60	113,827,000	30,391,000	0.27

を、さらに、表-4には実測  
値から求めた板の振り剛性  
 $2C + 2H = 4C + \gamma_y D_x + \gamma_z D_y$   
の関係から求めた有効振り剛  
性 $H$ および振り係数 $\alpha = H/D_{y,x}$   
の結果を示す。また、図-1

\*(\*)内は、 $\gamma_z$ を鋼の $\gamma=0.3$ とした場合

表-3 ポアソン比

供試体名称	$\gamma_x$	$\gamma_y$	$\gamma_z$	$D_{y,x}$
DX(DY)120-60	0.317	0.256	0.81	0.84
DX(DY)150-45	0.269	0.203	0.76	0.22
DX(DY)150-60	0.301	0.186	0.62	0.23

には、上下面板と心材の歪分布から  
中立軸の位置を調べた結果を示す。

以上の試験結果から、次のことが  
認められる。

(1) 曲げ剛性 $D_y$ は、慣用の計算法  
で求められるが、 $D_y$ は心材相互の間  
隔(表-1中の $b$ )に左右される。

本試験供試体では、 $b=a$ の場合には $D_y \approx 0.2D_x$ 、 $b=0$ の場合  
には $D_y \approx 0.8D_x$ の関係がある。

(2) ポアソン比 $\gamma_z$ は、鋼の $\gamma=0.3$ を採用できる。(しかし、  
 $\gamma_y$ は心材相互が離れて供試体では、0.2程度と考えられるが、  
相反作用の関係 $\gamma_y/\gamma_x = D_y/D_x$ は成立しない。)

(3) 本鋼床版では、有効振り剛性 $H$ は $H \approx D_y$ の関係にある  
、従って振り係数 $\alpha$ は $\alpha \approx \sqrt{D_y/D_x}$ の関係にある。

(4) 中立軸の位置は、慣用の断面計算法と良く一致する。

#### 4. 試験Ⅱの結果

中央載荷の場合の撓み分布図を図-2に、また上下面板の  
X方向(心材軸方向)の歪分布図を図-3に示す。図中に示  
した計算値(級数解とGuyon-Massonet法)の算出に際して

は、試験Ⅰの結果を採用したが、両計算値の誤差は  
、撓みで5%、歪で15%内にあり、図-2~3に見

るようすに実測値とも良好に近似している。これから、  
本サンドイッチ鋼床版の構造特性に関する限りで  
試験Ⅰの結果の妥当性を確認できた。さらに、試験  
Ⅰの結果を適用することにより、本鋼床版を直交異  
方性鋼床版とみなして、Guyon-Massonetによ  
る横分担用計算法が設計計算に適用できることが  
判った。

#### 5. あとがき

本鋼床版の特長を生かした歩道橋・道路橋の実施  
例については、紙面の都合上当日発表する予定であ  
る。

表-4  $H$ と $\alpha$ 値

供試体名称	振り剛性 $2C$ ( $\text{kg/cm}^2$ )	有効振り剛性 $H$ ( $\text{kg/cm}^2$ )	$\alpha$
H120-60	56,212,000	83,056,000	0.86
H150-45	12,658,000	28,212,000	0.51
H150-60	16,580,000	34,137,000	0.54

図-1 中立軸の位置

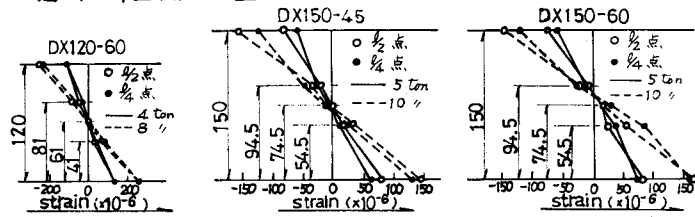


図-2 中央載荷の場合の撓み分布

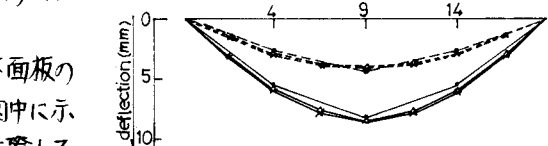
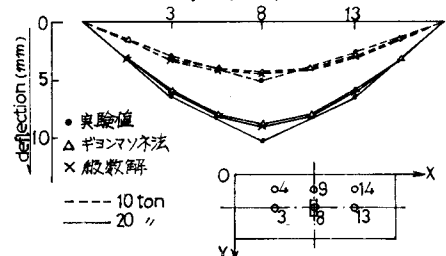


図-3 中央載荷の場合の上下面板のX方向歪分布

